



## تحلیل فرکانس‌های طبیعی یک پوسته استوانه‌ای ایزوتروپیک چند لایه تقویت شده با سه رینگ تحت فشارهای خارجی بر اساس تئوری مرتبه اول برشی

محمد رضا عیسوند زبیائی\*

استادیار، دانشکده مهندسی مکانیک، واحد آندیمشک، دانشگاه آزاد اسلامی، آندیمشک، ایران

مقاله مستقل، تاریخ دریافت: ۱۳۹۶/۰۹/۲۹؛ تاریخ بازنگری: ۱۳۹۶/۱۱/۱۹؛ تاریخ پذیرش: ۱۳۹۷/۰۵/۲۹

### چکیده

در این مقاله به بررسی فرکانس‌های طبیعی یک پوسته استوانه‌ای ایزوتروپیک چند لایه تقویت شده با سه رینگ تحت فشار خارجی پرداخته شده است. پیکربندی پوسته استوانه‌ای تقویتی تشکیل شده است، از سه لایه ایزوتروپیک که لایه‌های داخلی و خارجی از فولاد زنگ نزن و لایه میانی، مشتمل از ماده آلومینیوم است. معادلات پوسته استوانه‌ای ایزوتروپیک چند لایه تقویت شده بر اساس تئوری مرتبه اول تغییر شکل برشی بدست آمده است. سپس، معادلات حاکم بر حرکت به روش انرژی و بکار بردن تکنیک ریتز استخراج شده اند. تحلیل روی خصوصیات فرکانس‌های طبیعی با شرایط مرزی مختلف به وسیله تابع تیر محوری صورت پذیرفت. شرایط مرزی در لبه‌های دو انتهای پوسته استوانه‌ای ایزوتروپیک چند لایه به صورت ساده-ساده، گیردار-گیردار و آزاد-آزاد در نظر گرفته شده است. تاثیر فشارهای خارجی، موقعیت رینگ‌های تقویتی و شرایط مرزی مختلف روی فرکانس‌های طبیعی بررسی شده است. نتایج نشان داد که رینگ‌های تقویتی و فشار خارجی روی پوسته استوانه‌ای ایزوتروپیک چند لایه اثر می‌گذارند و منجر به افزایش فرکانس‌های طبیعی می‌گردند. نتایج ارائه شده می‌تواند به عنوان یک معیار مهم برای محققان جهت اعتبار سنجی روش‌های تحلیلی استفاده شوند.

**کلمات کلیدی:** فرکانس طبیعی؛ پوسته استوانه‌ای؛ ایزوتروپیک؛ رینگ؛ فشار؛ تئوری مرتبه اول برشی

## Analysis of Natural Frequency of Reinforced Multi-Layered Isotropic Cylindrical Shell with Three Rings under External Pressures Based on FSDT

M. R. Isvandzibaei\*

Assistant Professor, Department of Mechanical Engineering, Andimeshk Branch, Islamic Azad University, Andimeshk, Iran.

### Abstract

This paper presents the study on natural frequency of reinforced multi-layered isotropic cylindrical shells with three rings under external pressures. The multi-layered cylindrical shell is formed by three layers of isotropic where the inner and outer layers are stainless steel and the middle layer is aluminum. The reinforced multi-layered shell equations with three rings and external pressures are established based on first order shear deformation theory (FSDT). The governing equations of motion were employed, using energy functional and by applying the Ritz method. The boundary conditions represented by end conditions of the multi-layered cylindrical shell are simply supported-simply supported (S-S-S), clamped-clamped (C-C) and free-free (F-F). This research was solved with computer programming using MAPLE package. The influence of external pressure, rings position and different boundary conditions on natural frequencies characteristics is studied. The results shows that reinforced rings and external pressures have effect on the natural frequency of multi-layered isotropic cylindrical shell and cause the natural frequency to increase. The results presented can be used as an important benchmark for researchers to validate their analytical methods.

**Keywords:** Natural Frequency; Cylindrical Shell; Isotropic; Ring; Pressure; First Order Theory.

\* نویسنده مسئول؛ تلفن: ۰۶۱-۴۲۶۴۰۸۲۱؛ فکس: ۰۶۱-۴۲۶۴۰۷۹۲

ایمیل: [isvandzibaei@iauandimeshk.ac.ir](mailto:isvandzibaei@iauandimeshk.ac.ir), [esvandzebaei@yahoo.com](mailto:esvandzebaei@yahoo.com)

دلخواه را مورد مطالعه قرار دادند. پوسته دارای یک لایه و شرایط تکیه گاهی دلخواه در طول پوسته در نظر گرفته شده بود. آنها اثرات سرعت چرخشی روی یک پوسته استوانه‌ای با تقویت کننده‌هارا تحت ارتعاشات آزاد، مورد بررسی قرار دادند.

رامامورتی و پاتابیرامان [۱۴] و شن و همکاران [۱۵]، ارتعاشات پوسته‌های استوانه‌ای ایزوتروپیک تحت بارهای دینامیکی را بررسی نمودند. ساراوانان و همکاران [۱۶]، یک تحلیل اجزای محدود برای پوسته‌های استوانه‌ای چند لایه مورد مطالعه و بررسی قرار دادند. آنها از یک پوسته چند لایه پر شده از سیال استفاده کردند. استفاده از روش گالرکین برای بدست آوردن معادلات حرکت برای یک پوسته استوانه‌ای چند لایه چرخشی توسط هوا [۱۷] مطالعه شد. ملک زاده و همکاران [۱۸] شبیه‌سازی روی پاسخ دینامیکی یک پوسته استوانه‌ای چند لایه را مورد مطالعه قرار دادند. شرایط مرزی انتخاب شده از نوع گیردار-آزاد و تئوری استفاده شده در تحقیق از نوع مرتبه سوم تغییر شکل برشی بود.

کیو و همکاران [۱۹] ارتعاشات یک پوسته استوانه‌ای و مخروطی همراه با تقویت کننده‌ها را مورد بررسی قرار دادند. در این تحقیق دو نوع ارتعاشات آزاد و اجباری، مورد مطالعه قرار گرفت. بررسی پوسته‌های استوانه‌ای ضخیم تقویت شده از جنس مواد مدرج تابعی توسط عیسوند زیبایی و همکاران، مورد مطالعه قرار گرفت [۲۰]. هول [۲۱] پاسخ پوسته‌های استوانه‌ای با تقویت کننده‌ها رینگی را بررسی نمود. تئوری استفاده شده در این تحقیق، از نوع دائل بود. یوسف زاده و همکاران [۲۲]، کمانش پوسته‌های استوانه‌ای همراه با تقویت کننده‌ها را مورد بررسی قرار دادند. در این تحقیق به مطالعه پوسته استوانه‌ای تحت بارهای محوری و جانبی پرداخته شده است.

مطالعه فرکانس‌های طبیعی پوسته‌های استوانه‌ای ایزوتروپیک چند لایه با تقویت کننده و فشار، از جنبه‌های مهم کاربرد موفق پوسته‌های استوانه‌ای در صنعت است. آنها به عنوان پوسته‌های استوانه‌ای طویل استفاده می‌شوند مانند هوپیماها، زیردریایی‌ها و غیره. این پوسته‌های استوانه‌ای بدون تقویت کننده‌ها به علت کاهش استحکام دستخوش تغییر شکل و در نهایت منجر به شکست

## ۱- مقدمه و تعریف تحقیق

سازه‌های پوسته استوانه‌ای کاربردهای زیادی در علم مهندسی دارند و به علت دارا بودن ویژگی‌های منحصر به فرد در رفتار مکانیکی، در زمینه‌های مختلف مانند، هوا فضاء، عمران، مکانیک، سازه‌های دریایی و غیره کاربرد دارند [۱]. این سازه‌ها به طور گسترده در هوایپیماها، کشتی‌ها، شاتلهای فضایی، موشک‌ها، مخازن تحت فشار، مخازن نفت، زیردریایی‌ها به کار گرفته می‌شوند.

پوسته‌های استوانه‌ای طویل زمانی که در معرض تغییر شکل‌های بزرگ قرار می‌گیرند، به وسیله تقویت کننده‌ها استحکام آنها افزایش می‌یابد. نجفی و واریبورتون [۲]، ارتعاشات آزاد یک پوسته استوانه‌ای با تقویت کننده‌هارا بررسی کردند. شارما و جونز [۳]، ارتعاشات آزاد یک پوسته استوانه‌ای دایره‌ای با تقویت کننده‌های بر اساس شرایط مرزی گیردار-آزاد را بررسی نمودند. اشنایدریا و زالت [۴]، رفتار یک پوسته استوانه‌ای با سخت کننده‌ها تحت بار استاتیکی را مطالعه کردند. یان و همکاران [۵] خصوصیات ارتعاشی یک پوسته استوانه‌ای غوطه ور با تقویت کننده‌هارا بررسی کردند. وانگ و لین [۶] پوسته استوانه‌ای کروی با تقویت کننده‌هارا مورد مطالعه قرار دادند. با توجه به کاربردهای ویژه و مهم این سازه‌ها، مطالعه و بررسی فرکانس‌های طبیعی آنها بسیار حائز اهمیت است.

آنولد و واریبورتون [۷] معادلات حرکت را برای یک پوسته استوانه‌ای نازک ارائه کردند. بلوبنس [۸] شکل مدهای فرکانسی یک پوسته استوانه‌ای شکل را مطالعه کرد، سودل [۹] یک فرمول فرکانسی برای پوسته‌های استوانه‌ای دایره‌ای ارائه کرد و برای حالت‌های مختلف تغییر شکل‌های پوسته نتایج را استخراج کرد. چانگ [۱۰] تحلیل فرکانس‌های طبیعی و شکل مدهای یک پوسته استوانه‌ای شکل را بررسی کرد. تحقیقات در ارتباط با تغییرات ضخامت پوسته‌های استوانه‌ای را می‌توان به ردی [۱۱] و سودل [۱۲] نسبت داد. آنها فرکانس‌های طبیعی مختلف را با تغییر دادن نسبت ضخامت پوسته استخراج کردند و معادلات حاکم را بر اساس تئوری کلاسیک به دست آورندند.

لیو و همکاران [۱۳] تحلیل ارتعاشی پوسته‌های استوانه‌ای چرخشی با تقویت کننده‌های تحت شرایط مرزی

## ۲- تئوری مرتبه اول تغییر شکل برشی

شكل ۱ هندسه طرح کلی مسئله مورد بحث را نشان می‌دهد که در آن یک پوسته استوانه‌ای ایزوتروپیک چند لایه تقویت شده با سه رینگ تحت فشارهای خارجی با ضخامت  $h$ ، شاعر  $R$ ، طول  $L$ ، موقعیت رینگ‌های تقویتی  $b$  و فشار خارجی  $P$  قرار دارد. یک سیستم مختصات متعامد در سطح میانی پوسته چند لایه در امتداد  $x, \theta, z$  اختبار شده است. تغییر مکان‌های پوسته استوانه‌ای چند لایه در سطح میانی پوسته در نظر گرفته می‌شود. ضخامت پوسته استوانه‌ای چند لایه بین سه لایه ایزوتروپیک تقسیم می‌شود که لایه‌های داخلی و خارجی از فولاد زنگ نزنو لایه میانی، متتشکل از ماده آلومینیوم است.

میدان جابجایی بر اساس تئوری مرتبه اول تغییر شکل برشی برای یک نقطه اختیاری در سیستم مختصات استوانه ای به صورت رابطه (۱) بیان می‌شود:

$$\begin{aligned} u(x, \theta, z) &= u_0(x, \theta) + z\psi_x(x, \theta) \\ \vartheta(x, \theta, z) &= \vartheta_0(x, \theta) + z\psi_\theta(x, \theta) \\ \omega(x, \theta, z) &= \omega_0(x, \theta) \end{aligned} \quad (1)$$

در آن  $u(x, \theta, z)$  و  $\vartheta(x, \theta, z)$  اجزای جابجایی در جهات  $x$  و  $z$  و  $\omega(x, \theta, z)$  اجزای جابجایی در سطح میانی پوسته چند لایه و  $\psi_\theta(x, \theta)$  نرمال‌های چرخشی سطح میانی پوسته چند لایه می‌باشد.

## ۲- روابط کرنش- جابجایی

روابط کرنش- جابجایی برای یک پوسته استوانه‌ای ایزوتروپیک چند لایه تقویت شده با سه رینگ تحت فشارهای خارجی با روابط (۲-۷) در نظر گرفته می‌شود:

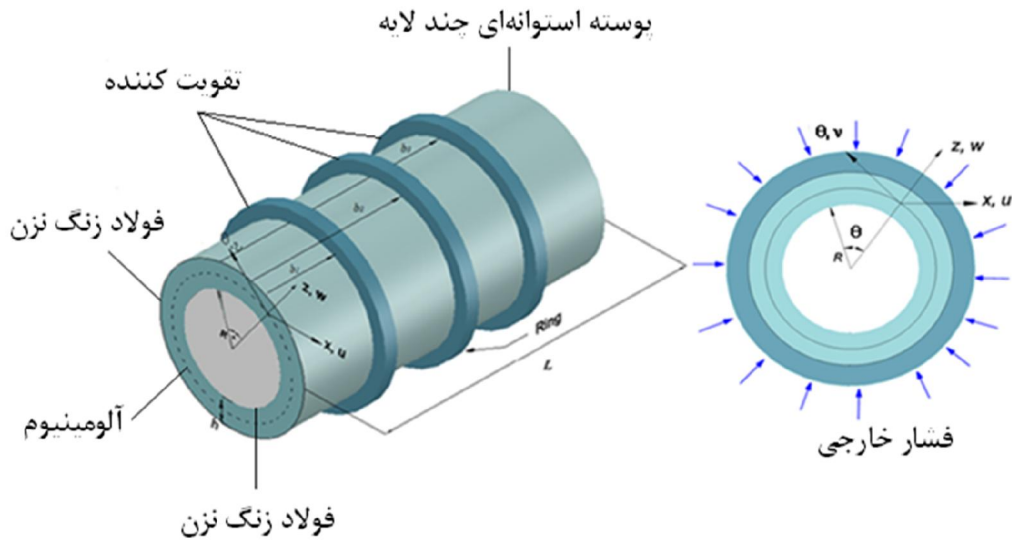
$$\bar{\varepsilon}_{11} = \frac{1}{A_1} \frac{\partial u(x, \theta, z)}{\partial x} + \frac{1}{A_1 A_2} \frac{\partial A_1}{\partial \theta} \vartheta(x, \theta, z) + \frac{\omega(x, \theta, z)}{R_1} \quad (2)$$

$$\bar{\varepsilon}_{22} = \frac{1}{A_2} \frac{\partial \vartheta(x, \theta, z)}{\partial \theta} + \frac{1}{A_1 A_2} \frac{\partial A_2}{\partial x} u(x, \theta, z) + \frac{\omega(x, \theta, z)}{R_2} \quad (3)$$

می‌شوند. پوسته‌های استوانه‌ای چند لایه اغلب موثرتر و مفیدتر از پوسته‌های استوانه‌ای تک لایه می‌باشند. علت این امر، بهبود در خواص مکانیکی لایه‌ها است. سازه‌های چند لایه به علت سختی بالاتر، مقاومت فشاری، حد خستگی، میرایی بهتر و خصوصیات جذب شوک قادر هستند، اثرات انرژی را در میان لایه‌ها توزیع کنند.

تا کنون در هیچ‌کدام از کارهای انجام شده در زمینه ارتعاشات پوسته‌ها، اثر همزمان پارامترهای سه رینگ تقویتی و فشارهای خارجی روی پوسته‌های سه لایه ایزوتروپیک آن هم با در نظر گرفتن تئوری مرتبه اول تغییر شکل برشی برسی نشده است. در این تحقیق، محل رینگ‌ها ثابت در نظر گرفته نشده و نتایج ارائه شده، اثر تغییرات این پارامتر روی فرکانس‌های طبیعی نیز با جزئیات تفسیر شده است؛ همچنین اثر شرایط مرزی مختلف روی ارتعاشات، کمتر مورد توجه قرار گرفته است. فرضیات این تحقیق بر اساس تئوری مرتبه اول شامل، پوسته نازک، خیزهای پوسته کوچک، تنش‌های عمودی جانبی قابل صرفه نظر کردن و عمودهای واقع بر صفحه میانی پوسته بعد از تغییر شکل عمود باقی می‌مانند.

هدف از این تحقیق که مراحل آن بسیار دقیق انجام شده است، مطالعه یک روش تحلیلی برای ارتعاشات آزاد یک پوسته استوانه‌ای ایزوتروپیک چند لایه تقویت شده با سه رینگ تحت فشار خارجی است. معادلات پوسته استوانه‌ای ایزوتروپیک چند لایه با سه رینگ تقویتی و فشار خارجی بر اساس تئوری مرتبه اول تغییر شکل برشی بدست آمده است. سپس، معادلات حاکم حرکت به روش انرژی و بکار بردن تکنیک ریتز استخراج شده‌اند. پیکربندی پوسته استوانه‌ای چند لایه تقویتی تشکیل شده است، از سه لایه ایزوتروپیک که لایه‌های داخلی و خارجی از فولاد زنگ نزنو لایه میانی، متتشکل از ماده آلومینیوم است. شرایط مرزی مختلف انتخاب شده در لبه‌های دو انتهای پوسته استوانه ای ایزوتروپیک چند لایه به صورت ساده- ساده، گیردار- گیردار و آزاد- آزاد در نظر گرفته شده است. تاثیر فشارهای خارجی، موقعیت رینگ‌های تقویتی و شرایط مرزی مختلف روی خصوصیات فرکانس‌های طبیعی، مورد ارزیابی و بررسی قرار گرفته شده است.



شکل ۱- هندسه یک پوسته استوانه‌ای ایزوتروپیک چند لایه تقویت شده با سه رینگ تحت فشارهای خارجی

$$\bar{\varepsilon}_{13} = \psi_x(x, \theta) + \frac{\partial \omega_0(x, \theta)}{\partial x} \quad (13)$$

$$\bar{\varepsilon}_{23} = \psi_\theta(x, \theta) + \frac{\partial \omega_0(x, \theta)}{R \partial \theta} \quad (14)$$

روابط کرنش-جایجایی به فرم ماتریسی با استفاده از تئوری مرتبه اول تغییر شکل برشی با روابط (۱۶-۱۵) در نظر گرفته می‌شوند:

$$\begin{Bmatrix} \bar{\varepsilon}_{11} \\ \bar{\varepsilon}_{22} \\ \bar{\varepsilon}_{12} \end{Bmatrix} = \begin{Bmatrix} \varepsilon_{11}^0 \\ \varepsilon_{22}^0 \\ \varepsilon_{12}^0 \end{Bmatrix} + z \begin{Bmatrix} L_{11} \\ L_{22} \\ L_{12} \end{Bmatrix} \quad (15)$$

$$\begin{Bmatrix} \bar{\varepsilon}_{13} \\ \bar{\varepsilon}_{23} \end{Bmatrix} = \begin{Bmatrix} \gamma_{13} \\ \gamma_{23} \end{Bmatrix} \quad (16)$$

در این روابط مقادیر کرنش-جایجایی به صورت روابط (۱۷) -

(۱۹) در نظر گرفته می‌شوند:

$$\begin{Bmatrix} \varepsilon_{11}^0 \\ \varepsilon_{22}^0 \\ \varepsilon_{12}^0 \end{Bmatrix} = \begin{Bmatrix} \frac{\partial u_0(x, \theta)}{\partial x} \\ \frac{\partial v_0(x, \theta)}{R \partial \theta} + \frac{\omega_0(x, \theta)}{R} \\ \frac{\partial v_0(x, \theta)}{\partial x} + \frac{\partial u_0(x, \theta)}{R \partial \theta} \end{Bmatrix} \quad (17)$$

$$\begin{Bmatrix} L_{11} \\ L_{22} \\ L_{12} \end{Bmatrix} = \begin{Bmatrix} \frac{\partial x}{\partial \psi_x(x, \theta)} \\ \frac{\partial \psi_\theta(x, \theta)}{R \partial \theta} \\ \frac{\partial \psi_x(x, \theta)}{R \partial \theta} + \frac{\partial \psi_\theta(x, \theta)}{\partial x} \end{Bmatrix} \quad (18)$$

$$\bar{\varepsilon}_{12} = \frac{A_2}{A_1} \frac{\partial}{\partial x} \left( \frac{\vartheta(x, \theta, z)}{A_2} \right) + \frac{A_1}{A_2} \frac{\partial}{\partial \theta} \left( \frac{u(x, \theta, z)}{A_1} \right) \quad (4)$$

$$\bar{\varepsilon}_{13} = A_1 \frac{\partial}{\partial z} \left( \frac{u(x, \theta, z)}{A_1} \right) + \frac{1}{A_1} \frac{\partial \omega(x, \theta, z)}{\partial x} \quad (5)$$

$$\bar{\varepsilon}_{23} = A_2 \frac{\partial}{\partial z} \left( \frac{\vartheta(x, \theta, z)}{A_2} \right) + \frac{1}{A_2} \frac{\partial \omega(x, \theta, z)}{\partial \theta} \quad (6)$$

$$\bar{\varepsilon}_{33} = 0 \quad (7)$$

در این روابط  $A_1$  و  $A_2$  پارامترهای لامه می‌باشند و به

صورت روابط (۹-۸) بیان می‌شوند [۱۲]:

$$A_1 = \frac{\partial r}{\partial x} \quad (8)$$

$$A_2 = \frac{\partial r}{\partial \theta} \quad (9)$$

با جایگذاری رابطه (۸) در روابط کرنش-جایجایی (۷)-(۲) و

به کار بردن سیستم مختصات استوانه‌ای روابط (۱۴-۱۰) بدست می‌آیند:

$$\bar{\varepsilon}_{11} = \frac{\partial u_0(x, \theta, z)}{\partial x} + z \frac{\partial \psi_x(x, \theta)}{\partial x} \quad (10)$$

$$\bar{\varepsilon}_{22} = \frac{\partial \vartheta_0(x, \theta, z)}{R \partial \theta} + z \frac{\partial \psi_\theta(x, \theta)}{R \partial \theta} + \frac{\omega_0(x, \theta, z)}{R} \quad (11)$$

$$\bar{\varepsilon}_{12} = \frac{\partial \vartheta_0(x, \theta, z)}{\partial x} + \frac{\partial u_0(x, \theta, z)}{R \partial \theta} z \left( \frac{\partial \psi_x(x, \theta)}{R \partial \theta} + \frac{\partial \psi_\theta(x, \theta)}{\partial x} \right) \quad (12)$$

$$\bar{Q}_{66} = \frac{E}{2(1-\vartheta)} \quad (29)$$

$$\bar{Q}_{44} = \frac{E}{2(1-\vartheta)} \quad (30)$$

$$\bar{Q}_{55} = \frac{E}{2(1-\vartheta)} \quad (31)$$

منتجه‌ها به صورت روابط (۳۳-۳۲) تعریف می‌گردد:

$$\{N_x N_\theta N_{x\theta} H_x H_\theta\} = \int_{-h/2}^{h/2} \{\bar{\sigma}_{11} \bar{\sigma}_{22} \bar{\sigma}_{12} \bar{\sigma}_{13} \bar{\sigma}_{23}\} dz \quad (32)$$

$$\{M_x M_\theta M_{x\theta}\} = \int_{-h/2}^{h/2} \{\bar{\sigma}_{11} \bar{\sigma}_{22} \bar{\sigma}_{12}\} z dz \quad (33)$$

پس از جایگزینی معادلات (۱۰) تا (۱۴) در معادله (۲۴) و سپس جایگزین کردن در معادلات (۳۲) و (۳۳)، فرم ترکیبی منتجه‌ها به صورت (۳۴) در نظر گرفته می‌شود:

$$\{N\} = [I]\{\bar{\varepsilon}\} \quad (34)$$

در این رابطه  $\{N\}$ ،  $[I]$  و  $\{\bar{\varepsilon}\}$  با رابطه (۳۷-۳۵) تعریف می‌شوند:

$$\{N\}^T = \{N_x N_\theta N_{x\theta} M_x M_\theta M_{x\theta} H_x H_{x\theta}\} \quad (35)$$

$$[I] = \begin{bmatrix} X_{11} X_{12} X_{16} Y_{11} Y_{12} Y_{16} & 0 & 0 \\ X_{12} X_{22} X_{26} Y_{12} Y_{22} Y_{26} & 0 & 0 \\ X_{16} X_{26} X_{66} Y_{16} Y_{26} Y_{66} & 0 & 0 \\ Y_{11} Y_{12} Y_{16} Z_{11} Z_{12} Z_{16} & 0 & 0 \\ Y_{12} Y_{22} Y_{26} Z_{12} Z_{22} Z_{26} & 0 & 0 \\ Y_{16} Y_{26} Y_{66} Z_{16} Z_{26} Z_{66} & 0 & 0 \\ 0 & 0 & 0 \\ 0 & 0 & 0 \end{bmatrix} \quad (36)$$

$$\{\bar{\varepsilon}\}^T = \{\bar{\varepsilon}_{11} \bar{\varepsilon}_{22} \bar{\varepsilon}_{12} \bar{\varepsilon}_{11} \bar{\varepsilon}_{22} \bar{\varepsilon}_{12} \bar{\varepsilon}_{13} \bar{\varepsilon}_{23}\} \quad (37)$$

در معادله (۳۶) و (۳۷) با روابط (۳۹-۳۸) تعریف می‌شوند:

$$(X_{ij} \quad Y_{ij} \quad Z_{ij}) = \int_{-h/2}^{h/2} Q_{ij}(1 \quad Z \quad Z^2) dz \quad (38)$$

$$V_{ij} = \int_{-h/2}^{h/2} Q_{ij} dz \quad (39)$$

برای یک پوسته استوانه‌ای ایزوتروپیک تقویت شده تشکیل شده از لایه‌های مختلف  $X_{ij}$ ،  $Y_{ij}$  و  $Z_{ij}$  به صورت زیر در نظر گرفته می‌شوند:

$$X_{ij} = \sum_{k=1}^H Q_{ij}^k (h_k - h_{k-1}) \quad (40)$$

$$Y_{ij} = \frac{1}{2} \sum_{k=1}^H Q_{ij}^k (h_k - h_{k-1}^2) \quad (41)$$

$$\left\{ \begin{array}{l} \gamma_{13} \\ \gamma_{23} \end{array} \right\} = \left\{ \begin{array}{l} \psi_x(x, \theta) + \frac{\partial \omega_0(x, \theta)}{\partial x} \\ \psi_\theta(x, \theta) + \frac{\partial \omega_0(x, \theta)}{R \partial \theta} \end{array} \right\} \quad (49)$$

در این روابط  $\varepsilon_{11}^0$ ،  $\varepsilon_{12}^0$ ،  $\varepsilon_{13}^0$  نرمال‌های کرش در سطح میانی پوسته چند لایه،  $\gamma_{13}$  کرش‌های برشی در سطح میانی پوسته چند لایه،  $L_{11}$ ،  $L_{22}$  تغییرات سطح میانی در منحنی و  $L_{12}$  پیچش سطح پوسته چند لایه ایزوتروپیک است.

### ۳- روابط تنش-کرش

روابط تنش-کرش برای یک پوسته استوانه‌ای ایزوتروپیک چند لایه تقویت شده با سه رینگ تحت فشارهای خارجی با شرایط تنش صفحه‌ای با رابطه (۲۰) در نظر گرفته می‌شود:

$$\{\bar{\sigma}\} = [\bar{Q}]\{\bar{\varepsilon}\} \quad (20)$$

در این رابطه  $\{\bar{\sigma}\}$  بردار تنش،  $\{\bar{\varepsilon}\}$  بردار کرش و  $[\bar{Q}]$  ماتریس سختی می‌باشد و با روابط (۲۳-۲۱) در نظر گرفته می‌شوند:

$$\{\bar{\sigma}\}^T = \{\bar{\sigma}_{11} \bar{\sigma}_{22} \bar{\sigma}_{12} \bar{\sigma}_{13} \bar{\sigma}_{23}\} \quad (21)$$

$$\{\bar{\varepsilon}\}^T = \{\bar{\varepsilon}_{11} \bar{\varepsilon}_{22} \bar{\varepsilon}_{12} \bar{\varepsilon}_{13} \bar{\varepsilon}_{23}\} \quad (22)$$

$$[\bar{Q}] = \begin{bmatrix} \bar{Q}_{11} \bar{Q}_{12} & 0 & 0 & 0 \\ \bar{Q}_{21} \bar{Q}_{22} & 0 & 0 & 0 \\ 0 & 0 & \bar{Q}_{66} & 0 \\ 0 & 0 & 0 & \bar{Q}_{55} \\ 0 & 0 & 0 & \bar{Q}_{44} \end{bmatrix} \quad (23)$$

سپس معادله (۲۰) به فرم رابطه (۳۴) تعریف می‌شود:

$$\begin{bmatrix} \bar{\sigma}_{11} \\ \bar{\sigma}_{22} \\ \bar{\sigma}_{12} \\ \bar{\sigma}_{13} \\ \bar{\sigma}_{23} \end{bmatrix} = \begin{bmatrix} \bar{Q}_{11} \bar{Q}_{12} & 0 & 0 & 0 \\ \bar{Q}_{21} \bar{Q}_{22} & 0 & 0 & 0 \\ 0 & 0 & \bar{Q}_{66} & 0 \\ 0 & 0 & 0 & \bar{Q}_{55} \\ 0 & 0 & 0 & \bar{Q}_{44} \end{bmatrix} \begin{bmatrix} \bar{\varepsilon}_{11} \\ \bar{\varepsilon}_{22} \\ \bar{\varepsilon}_{12} \\ \bar{\varepsilon}_{13} \\ \bar{\varepsilon}_{23} \end{bmatrix} \quad (24)$$

برای یک پوسته استوانه‌ای ایزوتروپیک چند لایه تقویت شده اجزای ماتریس سختی  $Q_{ij}$  با رابطه (۳۱-۲۵) تعريف می‌گردد:

$$\bar{Q}_{11} = \frac{E}{1-\vartheta^2} \quad (25)$$

$$\bar{Q}_{12} = \frac{\vartheta E}{(1-\vartheta^2)} \quad (26)$$

$$\bar{Q}_{21} = \frac{\vartheta E}{(1-\vartheta^2)} \quad (27)$$

$$\bar{Q}_{22} = \frac{E}{A(1-\vartheta^2)} \quad (28)$$

امین لایه می باشند.  $Q_{ij}^k$  سختی k امین لایه و H شماره لایهها در یک پوسته استوانه ای چند لایه ایزوتروپیک می باشند. با جایگزینی معادلات (۳۵)، (۳۶) و (۳۷) در معادله (۳۴) خواهیم داشت:

$$\begin{pmatrix} N_x \\ N_\theta \\ N_{x\theta} \\ M_x \\ M_\theta \\ M_{x\theta} \\ H_x \\ H_{x\theta} \end{pmatrix} = \begin{bmatrix} X_{11}X_{12}X_{16}Y_{11}Y_{12}Y_{16} & 0 & 0 \\ X_{12}X_{22}X_{26}Y_{12}Y_{22}Y_{26} & 0 & 0 \\ X_{16}X_{26}X_{66}Y_{16}Y_{26}Y_{66} & 0 & 0 \\ Y_{11}Y_{12}Y_{16}Z_{11}Z_{12}Z_{16} & 0 & 0 \\ Y_{12}Y_{22}Y_{26}Z_{12}Z_{22}Z_{26} & 0 & 0 \\ Y_{16}Y_{26}Y_{66}Z_{16}Z_{26}Z_{66} & 0 & 0 \\ 0 & 0 & 0 \\ 0 & 0 & 0 \end{bmatrix} \times \left\{ \begin{array}{l} \frac{\partial u_0(x, \theta)}{\partial x} + z \frac{\partial \psi_x(x, \theta)}{\partial x} \\ \frac{\partial \vartheta_0(x, \theta)}{R \partial \theta} + z \frac{\partial \psi_\theta(x, \theta)}{R \partial \theta} + \frac{w_0(x, \theta)}{R} \\ \frac{\partial \vartheta_0(x, \theta)}{\partial x} + \frac{\partial u_0(x, \theta)}{R \partial \theta} + z \left( \frac{\partial \psi_\theta(x, \theta)}{R \partial \theta} + \frac{\partial \psi_\theta(x, \theta)}{\partial x} \right) \\ \frac{\partial u_0(x, \theta)}{\partial x} + z \frac{\partial \psi_x(x, \theta)}{\partial x} \\ \frac{\partial \vartheta_0(x, \theta)}{R \partial \theta} + z \frac{\partial \psi_\theta(x, \theta)}{R \partial \theta} + \frac{w_0(x, \theta)}{R} \\ \frac{\partial \vartheta_0(x, \theta)}{\partial x} + \frac{\partial u_0(x, \theta)}{R \partial \theta} + z \left( \frac{\partial \psi_\theta(x, \theta)}{R \partial \theta} + \frac{\partial \psi_\theta(x, \theta)}{\partial x} \right) \\ \psi_x(x, \theta) + \frac{\partial w_0(x, \theta)}{\partial x} \\ \psi_\theta(x, \theta) + \frac{\partial w_0(x, \theta)}{R \partial \theta} \end{array} \right\} \quad (44)$$

$$\begin{aligned} & + \bar{\varepsilon}_{22}\bar{\varepsilon}_{11}X_{12} + \bar{\varepsilon}_{22}^2X_{22} + \bar{\varepsilon}_{22}\bar{\varepsilon}_{12}X_{26} \\ & + \bar{\varepsilon}_{22}\bar{\varepsilon}_{11}Y_{12} + \bar{\varepsilon}_{22}^2Y_{22} + \bar{\varepsilon}_{22}\bar{\varepsilon}_{12}Y_{26} \\ & + \bar{\varepsilon}_{12}\bar{\varepsilon}_{11}X_{16} + \bar{\varepsilon}_{12}\bar{\varepsilon}_{22}X_{26} + \bar{\varepsilon}_{12}^2X_{66} \\ & + \bar{\varepsilon}_{12}\bar{\varepsilon}_{11}Y_{16} + \bar{\varepsilon}_{12}\bar{\varepsilon}_{22}Y_{26} + \bar{\varepsilon}_{12}^2Y_{66} \\ & + \bar{\varepsilon}_{11}^2Y_{11} + \bar{\varepsilon}_{11}\bar{\varepsilon}_{22}Y_{12} + \bar{\varepsilon}_{11}\bar{\varepsilon}_{12}Y_{16} \\ & + \bar{\varepsilon}_{11}^2Z_{11} + \bar{\varepsilon}_{11}\bar{\varepsilon}_{22}Z_{12} + \bar{\varepsilon}_{11}\bar{\varepsilon}_{12}Z_{16} \\ & + \bar{\varepsilon}_{22}\bar{\varepsilon}_{11}Y_{12} + \bar{\varepsilon}_{22}^2Y_{22} + \bar{\varepsilon}_{22}\bar{\varepsilon}_{12}Y_{26} \\ & + \bar{\varepsilon}_{22}\bar{\varepsilon}_{11}Z_{12} + \bar{\varepsilon}_{22}^2Z_{22} + \bar{\varepsilon}_{22}\bar{\varepsilon}_{12}Z_{26} \\ & + \bar{\varepsilon}_{12}\bar{\varepsilon}_{11}Y_{16} + \bar{\varepsilon}_{12}\bar{\varepsilon}_{22}Y_{26} + \bar{\varepsilon}_{12}^2Y_{66} \\ & + \bar{\varepsilon}_{12}\bar{\varepsilon}_{11}Z_{16} + \bar{\varepsilon}_{12}\bar{\varepsilon}_{22}Z_{26} + \bar{\varepsilon}_{12}^2Z_{66} \\ & + \bar{\varepsilon}_{13}^2V_{44} + \bar{\varepsilon}_{13}\bar{\varepsilon}_{23}V_{45} + \bar{\varepsilon}_{23}\bar{\varepsilon}_{13}V_{45} \\ & + \bar{\varepsilon}_{23}^2V_{55} \} R d\theta dx \quad (46) \end{aligned}$$

#### ۴- معادلات انرژی

حال به بررسی انرژی پوسته استوانه ای ایزوتروپیک چند لایه تقویت شده تحت فشار خارجی همانند شکل ۱ پرداخته می شود.

#### ۱-۱- انرژی کرنشی

انرژی کرنشی یک پوسته استوانه ای ایزوتروپیک چند لایه تقویت شده تحت فشار خارجی بر اساس تئوری مرتبه اول تعییر شکل برشی به شرح رابطه (۴۵) است:

$$U = \frac{1}{2} \int_0^L \int_0^{2\pi} \{\bar{\varepsilon}\}^T [I] \{\bar{\varepsilon}\} R d\theta dx \quad (45)$$

با جایگزاری روابط  $\{I\}$ ،  $\{N\}$  و  $\{\bar{\varepsilon}\}^T$  در معادله انرژی کرنشی (۴۵) خواهیم داشت:

$$\begin{aligned} U = \frac{1}{2} \int_0^L \int_0^{2\pi} & \{ \bar{\varepsilon}_{11}^2X_{11} + \bar{\varepsilon}_{11}\bar{\varepsilon}_{22}X_{12} + \bar{\varepsilon}_{11}\bar{\varepsilon}_{12}X_{16} \\ & + \bar{\varepsilon}_{11}^2Y_{11} + \bar{\varepsilon}_{11}\bar{\varepsilon}_{22}Y_{12} + \bar{\varepsilon}_{11}\bar{\varepsilon}_{12}Y_{16} \} R d\theta dx \end{aligned}$$

### ۵- میدان جابجایی

میدان جابجایی برای فرکانس طبیعی یک پوسته استوانهای ایزوتروپیک چند لایه تقویت شده تحت فشار خارجی بر اساس تئوری مرتبه اول اساس تئوری مرتبه اول تغییر شکل برشی به صورت رابطه

(۵۱) تعریف می‌شود:

$$u_0(x, \theta) = \bar{E}_1 \frac{\partial \Omega(x)}{\partial x} \cos(n\theta) \cos(\omega t)$$

$$\vartheta_0(x, \theta) = \bar{E}_2 \Omega(x) \sin(n\theta) \cos(\omega t)$$

$$\omega_0(x, \theta) = \bar{E}_3 \Omega(x) \prod_{i=1}^H (x - b_i)^{\mu_i} \cos(n\theta) \cos(\omega t)$$

$$\psi_x(x, \theta) = \bar{E}_4 \frac{\partial \Omega(x)}{\partial x} \cos(n\theta) \cos(\omega t)$$

$$\psi_\theta(x, \theta) = \bar{E}_5 \Omega(x) \sin(n\theta) \cos(\omega t) \quad (51)$$

در آن  $\bar{E}_1, \bar{E}_2, \bar{E}_3, \bar{E}_4$  و  $\bar{E}_5$  ثابت‌های دامنه ارتعاشی می‌باشند.  $\Omega(x)$  تابع محوری است که شرایط مرزی را ارضا می‌کند.  $b_i$  موقعیت تقویت کننده،  $H$  تعداد رینگ،  $\mu_i$  پارامتری است که با توجه به وجود سه رینگ مقدارش سه است.

تابع محوری  $\Omega(x)$  به عنوان یک تابع تیر و به صورت رابطه (۵۲) انتخاب می‌شود [۲۳]:

$$\begin{aligned} \Omega(x) &= \Psi_1 \cosh\left(\frac{\Phi_m x}{L}\right) + \Psi_2 \cos\left(\frac{\Phi_m x}{L}\right) \\ &\quad - \mu_m \left( \Psi_3 \sinh\left(\frac{\Phi_m x}{L}\right) + \Psi_4 \sin\left(\frac{\Phi_m x}{L}\right) \right) \end{aligned} \quad (52)$$

### ۴-۲- انرژی جنبشی

انرژی جنبشی یک پوسته استوانهای ایزوتروپیک چند لایه تقویت شده تحت فشار خارجی بر اساس تئوری مرتبه اول تغییر شکل برشی به فرم رابطه (۴۷) تعریف می‌شود:

$$T = \frac{1}{2} \int_0^L \int_0^{2\pi} \rho_T \left\{ \left( \frac{\partial u_0(x, \theta)}{\partial t} \right)^2 + \left( \frac{\partial \vartheta_0(x, \theta)}{\partial t} \right)^2 + \left( \frac{\partial \omega_0(x, \theta)}{\partial t} \right)^2 + \left( \frac{\partial \psi_x(x, \theta)}{\partial t} \right)^2 + \left( \frac{\partial \psi_\theta(x, \theta)}{\partial t} \right)^2 \right\} R d\theta dx \quad (47)$$

در معادله (۴۷) چگالی  $\rho_T$  با رابطه (۴۸) تعریف می‌شود:

$$\rho_T = \sum_{k=1}^H \rho_k (h_k - h_{k-1}) \quad (48)$$

### ۴-۳- انرژی پتانسیل فشار خارجی

انرژی پتانسیل فشار خارجی یک پوسته استوانهای ایزوتروپیک چند لایه تقویت شده بر اساس تئوری مرتبه اول تغییر شکل برشی به صورت رابطه (۴۹) بدست می‌آید:

$$E_{External}$$

$$= \frac{P_{External}}{4} \int_0^L \int_0^{2\pi} \left( \frac{\partial \omega_0(x, \theta)}{\partial x} \right)^2 R^2 d\theta dx \quad (49)$$

در نهایت تابع انرژی برای پاسخ فرکانس طبیعی یک پوسته استوانهای ایزوتروپیک چند لایه تقویت شده با سه رینگ تحت فشار خارجی بر اساس تئوری مرتبه اول تغییر شکل برشی به صورت رابطه (۵۰) است:

$$F = U - T + E_{External} \quad (50)$$

جدول ۱- مقادیر  $\Phi_m$  و  $\mu_m$  برای شرایط مرزی ساده-ساده، گیردار و آزاد-آزاد

$\mu_m$	$\Psi_i$ ( $i = 1, 2, 3, 4$ )	$\Phi_m$	شرایط مرزی
\	$\Psi_1 = 0, \Psi_2 = 0$ $\Psi_3 = 0, \Psi_4 = -1$	$m\pi$	ساده
$\frac{\cosh \Phi_m - \cos \Phi_m}{\sinh \Phi_m - \sin \Phi_m}$	$\Psi_1 = 1, \Psi_2 = -1$ $\Psi_3 = 1, \Psi_4 = -1$	$\frac{(2m+1)\pi}{2}$	گیردار
$\frac{\cosh \Phi_m - \cos \Phi_m}{\sinh \Phi_m - \sin \Phi_m}$	$\Psi_1 = 1, \Psi_2 = 1$ $\Psi_3 = 1, \Psi_4 = 1$	$\frac{(2m+1)\pi}{2}$	آزاد

طبیعی پوسته استوانه‌ای ایزوتروپیک چند لایه تقویت شده با سه رینگ تحت فشار خارجی هستند که کوچکترین آنها جواب مورد قبول این تحقیق است. علت انتخاب کوچکترین فرکانس، برجسته بودن اثر فرکانس‌های طبیعی روی اعداد موج محیطی پایین است.

خواص مواد سه لایه استفاده شده در پوسته استوانه‌ای در جدول ۲ نشان داده است [۲۴].

جدول ۲- خواص مواد سه لایه

$\rho$ (kg/m <sup>3</sup> )	$\vartheta$	$E$ (N/m <sup>2</sup> )	نوع مواد	موقعیت
$7.8 \times 10^3$	0.28	$2.1 \times 10^{11}$	فولاد زنگ نزن	لایه خارجی
$2.7 \times 10^3$	0.35	$7.0 \times 10^{10}$	آلومینیوم	لایه میانی
$7.8 \times 10^3$	0.28	$2.1 \times 10^{11}$	فولاد زنگ نزن	لایه داخلی

### ۷- همگرایی و مقایسه پژوهش

به منظور درک بهتر فرکانس‌های طبیعی یک پوسته استوانه‌ای ایزوتروپیک چند لایه تقویت شده با سه رینگ تحت فشار خارجی بر اساس تئوری مرتبه اول تغییر شکل برشی و بررسی صحت روابط تحلیلی ارائه شده، نتایج حاصل با نتایج منتشر شده در مقدمه مقایسه شده است. در جدول ۳ مقایسه فرکانس طبیعی پوسته استوانه‌ای بدون تقویت کننده و فشار خارجی در نظر گرفته و نتایج پارامتر فرکانسی  $\Gamma = \omega R \sqrt{\frac{(1-\vartheta^2)\rho}{E}}$  با نتایج بدست آمده از تئوری کلاسیک مرجع [۱۰] مقایسه گردیده است.

در دومین مقایسه، فرکانس طبیعی (Hz) برای پوسته استوانه‌ای بدون تقویت کننده و فشار خارجی با استفاده از تئوری کلاسیک تحت شرایط تکیه گاهی ساده حاصل شده از تحقیق حاضر و مرجع [۲۵]، در جدول ۴ نشان داده شده است.

تطابق بین نتایج ارائه شده در جداول ۳ و ۴ در تمامی مقایسه‌های صورت گرفته شده نشان از دقت و صحت روش ارائه شده دارد. با این حال تفاوت بسیار جزئی نتایج به علت استفاده از تئوری مرتبه اول تغییر شکل برشی در تحقیق حاضر در مقایسه با تئوری کلاسیک استفاده شده در مراجع است.

در معادله (۵۲) مقادیر  $(\mu_m, \Phi_i, \Psi_i)$  ( $i = 1, 2, 3, 4$ ) برای شرایط مرزی ساده-ساده، گیردار-گیردار و آزاد-آزاد مطابق جدول شماره ۱ داده شده است.

### ۶- روش ریتز

در این تحقیق، از روش تحلیلی ریتز برای پاسخ فرکانس طبیعی یک پوسته استوانه‌ای ایزوتروپیک چند لایه تقویت شده با سه رینگ تحت فشار خارجی بر اساس تئوری مرتبه اول تغییر شکل برشی استفاده شده است وتابع انرژی به صورت رابطه (۵۳) تعریف می‌شود:

$$F = U_{max} - T_{max} + E_{External} \quad (53)$$

با جایگزینی معادله (۵۱) در معادلات (۴۶)، (۴۷) و (۴۹) و به کاربردن روش ریتز با به حداقل رساندنتابع انرژی  $F$  خواهیم داشت:

$$\begin{aligned} \frac{\partial(U_{max} - T_{max} + E_{External})}{\partial \bar{E}_1} &= 0 \\ \frac{\partial(U_{max} - T_{max} + E_{External})}{\partial \bar{E}_2} &= 0 \\ \frac{\partial(U_{max} - T_{max} + E_{External})}{\partial \bar{E}_3} &= 0 \\ \frac{\partial(U_{max} - T_{max} + E_{External})}{\partial \bar{E}_4} &= 0 \\ \frac{\partial(U_{max} - T_{max} + E_{External})}{\partial \bar{E}_5} &= 0 \end{aligned} \quad (54)$$

در رابطه (۵۴) پنج معادله حرکت وجود دارد، بنابراین معادله مقدار مشخصه  $C$  به شکل ماتریسی به صورت رابطه (۵۵) بدست می‌آید:

$$[C_{ij}] \begin{Bmatrix} \bar{E}_1 \\ \bar{E}_2 \\ \bar{E}_3 \\ \bar{E}_4 \\ \bar{E}_5 \end{Bmatrix} = \begin{Bmatrix} 0 \\ 0 \\ 0 \\ 0 \\ 0 \end{Bmatrix} \quad (55)$$

برای داشتن جواب غیر صفر باید دترمینان ضرایب به صورت رابطه (۵۶) صفر شود:

$$|C_{ij}| = 0 \quad (i, j = 1, 2, 3, 4, 5) \quad (56)$$

در نهایت با حل معادله معادله (۵۶) خواهیم داشت:

$$\delta_0 \omega^{10} + \delta_1 \omega^8 + \delta_2 \omega^6 + \delta_3 \omega^4 + \delta_4 \omega^2 + \delta_5 = 0 \quad (57)$$

معادله مشخصه درجه ۱۰ بالا دارای پنج جواب مثبت و پنج جواب منفی است. جواب‌های مثبت فرکانس‌های

جدول ۳- مقایسه پارامتر فرکانسی  $\omega R \sqrt{\frac{(1-\theta^2)\rho}{E}}$  برای یک پوسته استوانه ای بدون رینگ و فشار خارجی

تحقیق حاضر	چانگ [۱۰]	$h/R$	$L/R$	$m$	$n$	شرایط مرزی
0.0234	0.0150	0.002	10	1	4	ساده-ساده
0.3889	0.3118	0.05	2	1	3	گیردار-گیردار
0.4036	0.4472	0.002	8.6	5	2	آزاد-آزاد

جدول ۵- مقایسه فرکانس طبیعی برای یک پوسته استوانه ای تقویتی با نرم افزار ABAQUS  
(L/R = 20, h/R = 0.002, m=1)

پاسخ های حاصل از تحلیل	پاسخ های حاصل از نرم افزار	$n$
13.11	13.49	1
4.25	4.36	2
4.32	4.27	3
7.40	7.59	4
11.69	11.82	5

مورد تجزیه و تحلیل قرار می‌گیرد. شکل ۲ تاثیر فرکانس های طبیعی روی یک پوسته استوانه ای ایزوتروپیک چند لایه را بدون تقویت کننده و فشار خارجی نشان می‌دهد. با توجه به شکل مشخص می‌شود که برای هر سه شرایط مرزی مختلف فرکانس های طبیعی در ابتدا کاهش و سپس افزایش می‌باشد؛ همچنین، نتایج نشان می‌دهد که فرکانس های طبیعی با شرایط مرزی آزاد-آزاد، بالاتر از دو نوع دیگر است و به همین ترتیب شرایط مرزی ساده - ساده، از دو نوع دیگر پایین‌تر است. در حالت پوسته استوانه ای ایزوتروپیک چند لایه بدون تقویت کننده و فشار خارجی، کمترین فرکانس های طبیعی در اعداد موج محیطی ۲ و ۳ اتفاق می‌افتد.

## ۲-۸- پوسته استوانه ای چند لایه بدون تقویت کننده با فشار

در این قسمت، پاسخ فرکانسی یک پوسته استوانه ای ایزوتروپیک چند لایه بدون تقویت کننده با فشار خارجی برای اعداد موج محیطی مختلف و شرایط مرزی مختلف، مورد تجزیه و تحلیل قرار می‌گیرد. جداول ۶ تا ۸ پاسخ

جدول ۴- مقایسه فرکانس طبیعی (Hz) برای یک پوسته استوانه ای بدون تقویت کننده و فشار خارجی تحت شرایط تکیه گاهی ساده (L/R = 20, h/R = 0.002)

تحقیق حاضر	ارشد و همکاران [۲۵]	$m$	$n$
13.497	13.645	1	1
4.367	4.625	1	2
4.277	4.331	1	3
7.598	7.366	1	4
11.821	11.775	1	5

## ۱-۷- مقایسه نتایج با نرم افزار ABAQUS

در این قسمت به بررسی نتایج بدست آمده از روابط تحلیلی و فرکانس های طبیعی یک پوسته استوانه ای ایزوتروپیک چند لایه تقویت شده با سه رینگ تحت فشار خارجی با استفاده از نرم افزار ABAQUS پرداخته می‌شود. مدل کردن این پوسته تابعی در نرم افزار به صورت سه لایه در نظر گرفته می‌شود و خواص برای هر لایه در نظر گرفته می‌شود. المان استفاده شده از نوع پوسته‌ای مربعی می‌باشد. در جدول ۵ مقایسه نتایج نرم افزار و نتایج بدست آمده از روابط تحلیلی مقایسه گردیده است. همانگونه که مشاهده می‌شود، تطابق خوبی در تمامی مقایسه‌های صورت گرفته شده وجود دارد.

## ۸- بحث بر روی نتایج

### ۱-۸- پوسته استوانه ای چند لایه بدون تقویت کننده و فشار

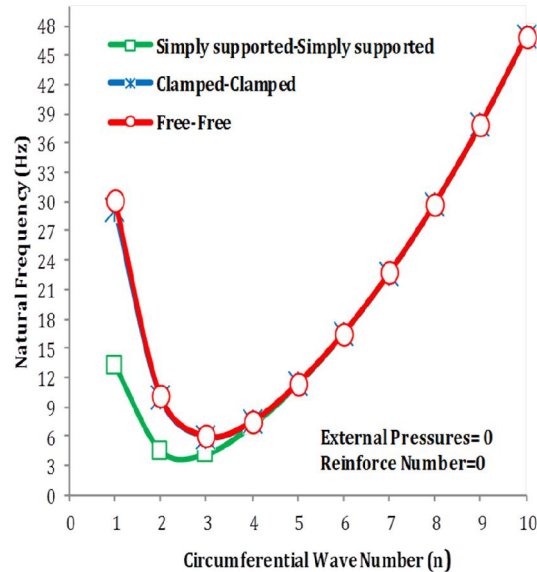
در این بخش، پاسخ فرکانسی یک پوسته استوانه ای ایزوتروپیک چند لایه بدون تقویت کننده و فشار خارجی برای اعداد موج محیطی مختلف و شرایط مرزی مختلف،

### ۳-۸- پوسته استوانه‌ای چند لایه با فشار و یک تقویت کننده

شکل ۳ تغییرات فرکانس‌های طبیعی یک پوسته استوانه‌ای ایزوتروپیک چند لایه با یک تقویت کننده و فشار خارجی را نشان می‌دهد. نتایج شبیه‌سازی نشان می‌دهد که روند مشابهی برای همه موقیت‌های تقویت کننده در طول پوسته وجود دارد. برای شکل ۳ موقیتی رینگ در حالت  $b=0.3L$  ارائه گردید. در این حالت تاثیر وجود تقویت کننده را می‌توان در شکل مشاهده کرد. وجود همزمان تقویت کننده و فشار، سبب افزایش فرکانس‌های طبیعی پوسته استوانه‌ای ایزوتروپیک چند لایه می‌شود. نتایج نشان می‌دهد که افزایش در فرکانس‌های طبیعی مهم است، وقتی که عدد موج محیطی از ۱ به ۲ افزایش می‌یابد. برای عدد موج محیطی بزرگتر از ۲ فرکانس‌های طبیعی به تدریج افزایش می‌یابند؛ همچنین، نتایج بدست آمده نشان می‌دهد که پاسخ فرکانس‌های طبیعی یک پوسته استوانه‌ای ایزوتروپیک چند لایه با یک تقویت کننده و فشار خارجی برای شرایط مرزی مختلف متفاوت است.

جدول ۶- پاسخ فرکانس‌های طبیعی یک پوسته استوانه‌ای چند لایه بدون تقویت کننده با و بدون فشار خارجی تحت شرایط تکیه گاهی ساده-ساده ( $m=1, h/R = 0.002, L/R = 20, R = 1$ )

P= 600 kPa	با فشار P= 400 kPa	بدون فشار P=0	n
21.075	21.075	13.209	1
46.658	38.311	4.476	2
80.179	65.528	4.156	3
112.335	91.816	7.044	4
143.786	117.583	11.254	5
174.914	143.135	16.475	6
205.917	168.641	22.664	7
236.911	194.203	29.811	8
267.972	219.892	37.912	9
299.155	245.761	46.967	10



شکل ۲- تغییرات پاسخ فرکانس طبیعی پوسته استوانه‌ای ایزوتروپیک چند لایه بدون فشار خارجی و تقویت کننده با سه شرط مرزی مختلف ( $h/R = 0.002, L/R = 20, R = 1$ )

فرکانس‌های طبیعی یک پوسته استوانه‌ای ایزوتروپیک چند لایه بدون تقویت کننده با فشار خارجی را نشان می‌دهند. تحلیل با فرض فشارهای خارجی برابر با ۴۰۰ و ۴۰۰ کیلو پاسکال انجام شده است. برای تمام سه شرایط مرزی زمانی که فشار خارجی صفر است، فرکانس طبیعی ابتدا کاهش و سپس افزایش می‌یابد. وقتی که پوسته استوانه‌ای ایزوتروپیک چند لایه بدون تقویت کننده در معرض فشار خارجی قرار می‌گیرد، برای همه سه شرایط مرزی پاسخ فرکانس‌های طبیعی افزایش می‌یابد. نتایج نشان می‌دهند که فشارهای خارجی روی فرکانس طبیعی پوسته استوانه‌ای ایزوتروپیک چند لایه تاثیر می‌گذارد و موجب افزایش فرکانس طبیعی سازه می‌شود. وقتی مقادیر فشارهای خارجی بزرگتر است، فرکانس‌های طبیعی نیز بالاتر است؛ همچنین، نتایج بدست آمده نشان می‌دهد که پاسخ فرکانس‌های طبیعی یک پوسته استوانه‌ای ایزوتروپیک چند لایه بدون تقویت کننده با فشار خارجی برای شرایط مرزی مختلف متفاوت است.

جدول ۸- پاسخ فرکانس های طبیعی یک پوسته استوانه ای چند لایه بدون تقویت کننده با و بدون فشار خارجی

تحت شرایط تکیه گاهی آزاد-آزاد

$(m=1, h/R = 0.002, L/R = 20, R = 1)$

با فشار P= 600 kPa	با فشار P= 400 kPa	بدون فشار P=0	n
30.09	30.09	30.09	1
47.157	38.939	10.045	2
80.231	65.6	5.97	3
112.343	91.83	7.485	4
143.788	117.587	11.393	5
174.915	143.137	16.541	6
205.918	168.642	22.708	7
236.912	194.205	29.846	8
267.974	219.894	37.945	9
299.157	245.764	46.999	10

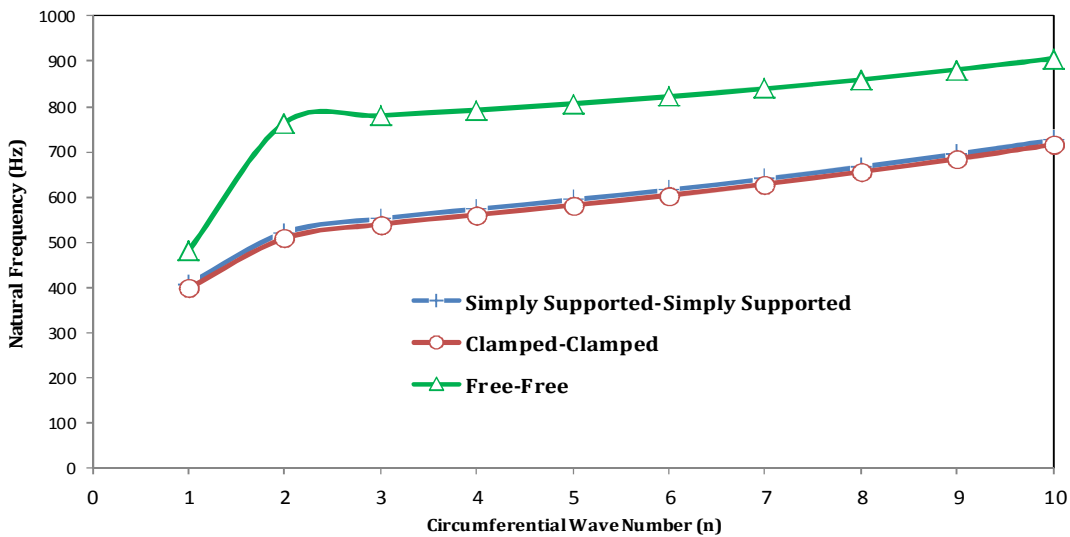
جدول ۷- پاسخ فرکانس های طبیعی یک پوسته استوانه ای

ای چند لایه بدون تقویت کننده با و بدون فشار خارجی

تحت شرایط تکیه گاهی گیردار-گیردار

$(m=1, h/R = 0.002, L/R = 20, R = 1)$

با فشار P= 600 kPa	با فشار P= 400 kPa	بدون فشار P=0	n
29.22	29.22	29.22	1
47.185	38.94	9.88	2
80.25	65.61	5.91	3
112.35	91.83	7.46	4
143.79	117.587	11.37	5
174.915	143.137	16.52	6
205.918	168.642	22.69	7
236.912	194.205	29.846	8
267.974	219.894	37.945	9
299.157	245.764	46.999	10



شکل ۳- تغییرات پاسخ فرکانس طبیعی پوسته استوانه ای ایزوتروپیک چند لایه تقویت شده با یک رینگ تحت فشار خارجی با سه شرایط مرزی مختلف ( $P = 1400 \text{ KPa}, h/R = 0.002, L/R = 20, b = 0.3L, R = 1$ )

خارجی برای سه شرایط مرزی مختلف، مورد بررسی قرار گرفت. جداول ۹ تا ۱۱ پاسخ فرکانس های طبیعی یک پوسته استوانه ای ایزوتروپیک چند لایه با سه تقویت کننده و فشار خارجی تحت سه شرایط مرزی مختلف را نشان می دهند. تقویت کننده ها با فواصل مساوی در طول پوسته

۴-۸- پوسته استوانه ای چند لایه با فشار و سه تقویت کننده

در این بخش، تأثیر تعداد تقویت کننده روی فرکانس طبیعی یک پوسته استوانه ای ایزوتروپیک چند لایه با فشار

استوانه‌ای ایزوتروپیک چند لایه قرار می‌گیرند. تحلیل با فرض فشار خارجی ۶۰۰ کیلو پاسکال انجام شده است. نتایج نشان می‌دهد که تعداد تقویت کننده روی فرکانس‌های طبیعی تاثیر می‌گذارد و سبب افزایش فرکانس‌های طبیعی سازه می‌شود؛ همچنین، نتایج بدست آمده نشان می‌دهد که پاسخ فرکانس‌های طبیعی یک پوسته استوانه‌ای ایزوتروپیک چند لایه با سه تقویت کننده و فشار خارجی برای شرایط مرزی مختلف متفاوت است.

## ۹- نتیجه گیری

در این مطالعه، تحلیل فرکانس‌های طبیعی یک پوسته استوانه‌ای ایزوتروپیک چند لایه تقویت شده با سه رینگ تحت فشارهای خارجی، مورد بررسی قرار گرفت. پیکربندی پوسته استوانه‌ای تقویتی تشکیل شده است، از سه لایه ایزوتروپیک که لایه‌های داخلی و خارجی از فولاد زنگ نزن و لایه میانی، متشکل از ماده آلومینیوم است. معادلات پوسته استوانه‌ای بر اساس تئوری مرتبه اول تغییر شکل برشی بدست آمده است. سپس، معادلات حاکم حرکت به روش انرژی و بکار بردن تکنیک ریتز استخراج شده‌اند. شرایط مرزی در لبه‌های دو انتهای پوسته استوانه‌ای ایزوتروپیک چند لایه به صورت ساده- ساده، گیردار- گیردار و آزاد- آزاد در نظر گرفته شده است. تاثیر فشارهای خارجی، موقعیت و تعداد رینگ‌های تقویتی و شرایط مرزی مختلف روی خصوصیات فرکانس‌های طبیعی، مورد بحث قرار گرفت. همانطورکه ملاحظه می‌شود، در حالت پوسته استوانه‌ای چند لایه بدون تقویت کننده و فشار برای هر سه شرایط مرزی مختلف فرکانس‌های طبیعی در ابتدا کاهش و سپس افزایش می‌یابند. لازم به ذکر است که در حالت پوسته استوانه‌ای چند لایه بدون تقویت کننده که در معرض فشار خارجی قرار می‌گیرد، برای همه سه شرایط مرزی مختلف پاسخ فرکانس‌های طبیعی افزایش می‌یابد.

نتایج نشان داد که رینگ‌های تقویتی و فشارهای خارجی روی پوسته استوانه‌ای ایزوتروپیک چند لایه اثر می‌گذارند و منجر به افزایش فرکانس‌های طبیعی می‌شود و وجود همزمان تقویت کننده و فشار، سبب افزایش

جدول ۹- پاسخ فرکانس‌های طبیعی یک پوسته استوانه‌ای چند لایه با سه تقویت کننده و فشار خارجی تحت شرایط تکیه گاهی ساده- ساده

$$(h/R = 0.002, L/R = 20, R = 1)$$

سه رینگ تقویت کننده	$b_1/L = 1/4, b_2/L = 2/4, b_3/L = 3/4, P = 600 \text{ kPa}$	$m$	$n$
487.197	1	1	
817.421	1	2	
821.110	1	3	
827.903	1	4	
833.721	1	5	

جدول ۱۰- پاسخ فرکانس‌های طبیعی یک پوسته استوانه‌ای چند لایه با سه تقویت کننده و فشار خارجی تحت شرایط تکیه گاهی گیردار- گیردار

$$(h/R = 0.002, L/R = 20, R = 1)$$

سه رینگ تقویت کننده	$b_1/L = 1/4, b_2/L = 2/4, b_3/L = 3/4, P = 600 \text{ kPa}$	$m$	$n$
786.231	1	1	
824.663	1	2	
826.111	1	3	
833.230	1	4	
838.567	1	5	

جدول ۱۱- پاسخ فرکانس‌های طبیعی یک پوسته استوانه‌ای چند لایه با سه تقویت کننده و فشار خارجی تحت شرایط تکیه گاهی آزاد- آزاد

$$(h/R = 0.002, L/R = 20, R = 1)$$

سه رینگ تقویت کننده	$b_1/L = 1/4, b_2/L = 2/4, b_3/L = 3/4, P = 600 \text{ kPa}$	$m$	$n$
751.212	1	1	
974.678	1	2	
992.450	1	3	
1008.34	1	4	
1019.07	1	5	

- [10] Chung H (1981) Free vibration analysis of circular cylindrical shells. *J Sound Vib* 74(3): 331-350.
- [11] Reddy JN (2004) Mechanics of Laminated Composite Plates and Shells. 2nd edn. CRC Press, New York.
- [12] Soedel W (2004) *Vibration of Shells and Plates*. 3rd edn, Marcel Dekker Inc, New York.
- [13] Liu L, Cao D, Sun S (2013) Vibration analysis for rotating ring-stiffened cylindrical shells with arbitrary boundary conditions. *J Vib Acoust* 135 (6): 1-12.
- [14] Ramamurti V, Pattabiraman J (1977) Dynamic behaviour of a cylindrical shell with a cutout. *J Sound Vib* 52(2): 193-200.
- [15] Shen S, Xing J, Fan F (2003) Dynamic behavior of single-layer latticed cylindrical shells subjected to seismic loading. *Earthq Eng Eng Vib* 2(2): 2693-279.
- [16] Saravanan C, Ganeshan N, Ramamurti V (2000) Vibration and damping analysis of multilayered fluid filled cylindrical shells with constrained viscoelastic damping using modal strain energy method. *Comput Struct* 75(4): 395-417.
- [17] Hua L (2000) Influence of boundary conditions on the free Vibrations of rotating truncated circular multi-layered conical shells. *Compos Part B Eng* 31(4): 265-275.
- [18] Malekzadeh K, Khalili MR, Davar A, Mahajan P (2010) Transient dynamic response of clamped-free hybrid composite circular cylindrical shells. *App Compos Mater* 17(2): 243-257.
- [19] Qu Y, Chen Y, Long X, Hua H, Meng G (2013) A modified variational approach for vibration analysis of ring-stiffened conical-cylindrical shell combinations. *Eur J Mech A* 37(1): 200-215.
- [20] Isvandzibaei MR, Jamaluddin H, Raja Hamzah RI (2016) Vibration analysis of supported thick-walled cylindrical shell made of functionally graded material under pressure loading. *J Vib Control* 22(4): 1023-1036.
- [21] Hull AJ (2014) Response of a cylindrical shell with finite length ring stiffeners. *J Acoust Soc Am* 135(4): 2350-2361.
- [۲۲] یوسف زاده ش، عیسوند زیبائی م، قیصری م (۱۳۹۶) کمانش پوسته استوانه‌ای تقویتی جدار ضخیم تابعی با استفاده از تئوری مرتبه سوم برشی تحت بارهای محوری و جانبی یکنواخت. *مجله مهندسی مکانیک مدرس*. ۱۷(۷): ۳۷۳-۳۸۵.
- [23] Moon FC, Shaw SW (1983) Chaotic vibrations of a beam with non-linear boundary conditions. *Int J Nonlin Mech* 18(6): 465-477.

فرکانس‌های طبیعی پوسته استوانه‌ای ایزوتروپیک چند لایه می‌شود. این افزایش در فرکانس‌های طبیعی مهم است؛ همچنین، نتایج نشان داد که وقتی فشارهای خارجی افزایش می‌یابد، فرکانس‌های طبیعی نیز بالاتر می‌روند. نتایج بدست آمده نشان داد که تعداد تقویت کننده‌ها تاثیر مستقیم بر فرکانس‌های طبیعی پوسته استوانه‌ای ایزوتروپیک چند لایه می‌گذارد و سبب افزایش فرکانس‌های طبیعی سازه می‌گردد و هر چه تعداد تقویت کننده در طول پوسته بیشتر شود فرکانس‌های طبیعی نیز افزایش می‌یابند. در پایان، نویسنده بر این باور است که نتایج این تحقیق می‌تواند در کاربردهای مهندسی مفید باشد.

## ۱- مراجع

- [1] Qatu MS (2002) Recent research advances in the dynamic behavior of shells. *Appl Mech Rev* 55(5): 415-434.
- [2] Al-Najafi AMJ, Warburton GB (1970) Free vibration of ring-stiffened cylindrical shells. *J Sound Vib* 13(1): 9-25.
- [3] Sharma CB, Johns DJ (1971) Vibration characteristics of a clamped-free and clamped-ring-stiffened circular cylindrical shell. *J Sound Vib* 14(4): 459-474.
- [4] Schneider W, Zahlten W (2004) Load-bearing behaviour and structural analysis of slender ring-stiffened cylindrical shells under quasi-static wind load. *J Constr Steel Res* 60 (1): 125-146.
- [5] Yan J, Li TY, Liu TG, Liu JX (2006) Characteristics of the vibrational power flow propagation in a submerged periodic ring-stiffened cylindrical shell. *Appl Acoust* 67(6): 550-569.
- [6] Wang RT, Lin ZX (2006) Vibration analysis of ring-stiffened cross-ply laminated cylindrical shells. *J Sound Vib* 295 (4): 964-987.
- [7] Arnold RN, Warburton GB (1953) The rexural vibrations of thin cylinders. *Pt. C J Mechan* 167(1): 62-80.
- [8] Blevins RD (1979) *Formulas for Natural Frequency and Mode Shape*. Van Nostrand Reinhold, New York.
- [9] Soedel W (1980) A new frequency formula for closed circular cylindrical shells for a large variety of boundary conditions. *J Sound Vib* 70(3): 309-317.

- [25] Arshad SH, Naeem MN, Sultana N, Shah A, Iqbal Z (2011) Vibration analysis of bi-layered FGM cylindrical shells. *Arch Appl Mech* 81(3): 319-343.
- [24] Loy CT, Lam KY, Reddy JN (1999) Vibration of functionally graded cylindrical shells. *Int J Mech Sci* 41(3): 309-324.